



مجله علوم و تکنولوژی پلیمر،

سال بیست و یکم، شماره ۶،

صفحه ۱۳۸۷-۱۴۷۶

ISSN : 1016-3255

مقایسه خواص نانوکامپوزیت‌های پلی‌یورتانی تهیه شده به دو روش مختلف

محمد برمر^{*}، مهدی باریکانی، مجتبی فریدون نیا

تهران، پژوهشگاه پلیمر و پتروشیمی ایران، صندوق پستی ۱۴۹۶۵-۱۱۵

دریافت: ۸۷/۳/۱۲، پذیرش: ۸۷/۱۰/۸

چکیده

در این پژوهش، ابتدا یک مدل الاستومر پلی‌یورتانی بر پایه پلی‌تراتامیلن گلیکول، -۴.۲- تولوئن دی‌ایزو‌سیانات و -۴.۱- بوتان دی‌ال، به عنوان رزین پایه انتخاب شد. سپس، دو نمونه نانوکامپوزیت پلی‌یورتانی به دو روش مختلف، پلیمرشدن در جا و بین لایه‌ای شدن مذاب تهیه شد. برای ساخت این نانوکامپوزیت‌ها از خاک رس اصلاح شده تجاری کلویزیت 30B به مقدار ۰/۴ درصد وزنی استفاده شد. خواص نمونه‌های تهیه شده به روش پراش پرتو X، آزمون کشش، تجزیه گرمایی و نیز اندازه‌گیری سختی مطالعه شد. بر اساس نتایج، خواص گرمایی نانوکامپوزیت‌های تهیه شده بهتر از نمونه پلی‌یورتان خالص بود. روش فرایند بر خواص مکانیکی نمونه نانوکامپوزیت تهیه شده به روش مذاب اثر منفی داشت.

واژه‌های کلیدی

پلی‌یورتان، نانوکامپوزیت،
خاک رس اصلاح شده،
پلیمرشدن در جا،
بین لایه‌ای شدن مذاب

*مسئول مکاتبات، پیام نگار:

M.Barmar@ippi.ac.ir

Comparison between Properties of Polyurethane Nanocomposites Prepared by Two Different Methods

M. Barmar*, M. Barikani, and M. Fereidoonnia

Iran Polymer and Petrochemical Institute, P.O. Box: 14965-115

Received 1 June 2008, accepted 28 December 2008

Abstract

In this work, a thermoplastic polyurethane elastomer (TPUE) model based on polytetramethylene glycol, toluene diisocyanate and 1,4-butanediol was selected and synthesized. According to this model two types of polyurethane nanocomposites were prepared by in situ polymerization and melt intercalation procedures. The organo-modified nanoclay was used in nanocomposites samples in 0.4 weight percent level. The prepared nanocomposites were studied by WAXD, tensile and thermal analysis. Thermal properties of the nanocomposites were higher than those of pure polyurethane elastomers. Nanocomposites prepared via melt intercalation method showed a lower tensile strength and hardness than those prepared through in situ polymerization method.

Key Words

polyurethane, nanocomposite, modified clay, in situ polymerization, melt intercalation

(*) To whom correspondence should be addressed.

E-mail: M.Barmar@ippi.ac.ir

مقدمه

پلی‌یورتان به شکل پراکنش کاملاً یکنواخت با ساختار ورقه‌ای شدند. نانوکامپوزیت‌های به دست آمده، افزایش قابل توجهی در خواص فیزیکی - مکانیکی نشان دادند.

Song و همکاران [۱۳] با تهیه یک مجموعه نانوکامپوزیت‌های پلی‌یورتانی - خاک رس اصلاح شده به روش پلیمرشدن در جا، متوجه اثر متقابل خاک رس اصلاح شده و اندازه قطعه‌های سخت پلی‌یورتانی شدند.

در پژوهشی دیگر [۱۴] نانوکامپوزیت پلی‌یورتانی از اختلاط پراکنش آبی ذرات نقره در مقیاس نانو با پلی‌یورتان‌های پراکنده شده در آب، ساخته شد. روش کار به شکل ریخته گری و تشکیل فیلم بود. افزایش قابل توجه در خواص مکانیکی و پایداری گرمایی نانوکامپوزیت پلی‌یورتانی تهیه شده، به بهبود مقدار بلورینگی و وجود ذرات نقره ارتباط داده شد.

گروه دیگری از پژوهشگران با بررسی سیستیک واکنش پلیمرشدن پلی‌یورتان به وسیله خاک رس اصلاح شده، دریافتند که سرعت واکنش پلیمرشدن با افزایش مقدار خاک رس، بیشتر می‌شود [۱۵].

هم‌چنین، در یک کار مطالعاتی برای ساخت نانوکامپوزیت پلی‌یورتانی، از پیش‌پلیمر حاوی گروه‌های انتهاهای ایزوسیاناتی و زنجیرافزای بوتان‌دی‌ال استفاده شد. با تغییر نسبت مولی گروه‌های ایزوسیاناتی به گروه‌های هیدروکسیل، مشخص شد، نسبت ۷/۱ بیشترین بهبود خواص را نشان می‌دهد [۱۶].

در این پژوهش، آثار فرایند ساخت نانوکامپوزیت پلی‌یورتانی مطالعه و بررسی شده است. ابتدا یک مدل الاستومر گرمانرم استخراج شد. سپس، از دو روش مختلف پلیمرشدن در جا و بین لایه‌ای شدن مذاب نمونه‌های نانوکامپوزیت پلی‌یورتانی تهیه شد. خواص نمونه‌های ساخته شده با الاستومر پلی‌یورتانی مدل مقایسه شد.

تجربی

مواد

پلی‌ترامتیلن اتر گلیکول (PTMG) مورد استفاده به عنوان پلی‌ال با مشخصات وزن مولکولی متوسط عددی ۱۷۷۴ و عدد هیدروکسیل ۴۶۳ از مرکز تحقیق و توسعه شرکت پتروشیمی اراک (پویش) تهیه شد. ۲، ۴، ۱- تولوئن دی‌ایزوسیانات از شرکت Aldrich و ۱، ۴- بوتان‌دی‌ال از شرکت Merck خریداری شد. هم‌چنین، از خاک رس اصلاح شده با نام تجاری کلویزیت Cloisite 30B (شکل ۱)، محصول شرکت

الاستومرهای گرمانرم پلی‌یورتانی (TPUE)، جزو الاستومرهای بسیار کارآمد هستند که در زمینه‌های مختلفی از جمله پوشش، الیاف، فیلم، تخت کفشن، پوشش سیم و شیلنگ کاربرد دارند [۱]. این مواد از لحاظ ریزساختاری متشكل از دو فاز ناسازگار سخت و نرم هستند [۲]. به دلیل این ساختار، الاستومرهای پلی‌یورتانی خواصی هم چون کشسانی بسیار خوب، استحکام مکانیکی قابل قبول و مقاومت سایشی بسیار زیاد را به طور هم زمان ارائه می‌دهند، این در حالی است که سختی آنها نیز قابل کنترل است. پایداری کم پلی‌یورتان‌ها در دماهای زیاد و اشتعال پذیری از نقاط ضعف آنهاست [۳]. یکی از روش‌های مهم بهبود خواص گرمایی الاستومرهای پلی‌یورتانی، استفاده از ذرات معدنی از جمله خاک رس است. زمانی که استفاده از این ذرات منجر به ایجاد ساختار یک نانوکامپوزیت شود، محصولات به دست آمده، خواص مکانیکی و گرمایی قابل توجهی نشان می‌دهند. این بهبود خواص ناشی از برهم‌کش سطحی بسیار قوی بین زمینه و صفحات سیلیکاتی خاک رس است [۴] که باعث تغییر در دینامیک مولکولی [۵، ۶] و بلورینگی پلیمر می‌شود [۷].

در سال‌های اخیر، کارهای پژوهشی زیادی روی نانوکامپوزیت‌های پلیمری، از جمله نانوکامپوزیت‌های پلی‌یورتانی انجام شده است. Gunes و همکاران [۸] اثر اندازه ذرات نانوودده، کاریبد سیلیکون و نانو الیاف کربنی را روی خواص حافظه شکلی نانوکامپوزیت‌های پلی‌یورتانی بررسی کردند. در پژوهشی دیگر، نانوکامپوزیت پلی‌یورتانی حاوی اکسید تیتان تهیه شده با روش فراصوت، مطالعه شده است [۹].

Jiang و همکاران ابتدا مونت موریلوئیت طبیعی را با متیلن - بیس - ارتولکلروآنیلین اصلاح کردند. سپس، چند نمونه نانوکامپوزیت را با استفاده از مقادیر مختلفی از خاک اصلاح شده مزبور، تهیه کردند. در بررسی خواص، نمونه حاوی ۹ درصد خاک رس اصلاح شده ۳۰۰ درصد افزایش در مدول ذخیره نشان داد [۱۰].

در کار پژوهشی دیگری، از خاک رس اصلاح شده و اصلاح نشده حین سنتز پلی‌یورتان‌های گرمانرم استفاده شد. این مواد با دو روش مختلف به پلی‌یورتان در حال سنتز اضافه شد. مطالعات انجام شده نشان داد که نانوکامپوزیت پلی‌یورتانی حاصل از افزودن خاک رس اصلاح شده، اضافه شده در مرحله نهایی سنتز الاستومر پلی‌یورتانی، بهترین خواص را ارائه می‌دهد [۱۱].

گروهی از پژوهشگران [۱۲] نیز با استفاده از روش تورم خاک رس اصلاح شده در حلال، موفق به اعمال ۷ درصد خاک رس در زمینه

از زمان تقریبی ۱۰ min مخلوط در حال واکنش که افزایش در گرانروی را نشان می‌داد، با قالب تفلونی ریخته گری شد. برای تکمیل نهایی واکنش، قالب به مدت ۲۰ h در گرم خانه با دمای ۱۱۰°C قرار گرفت.

تهیه نمونه‌های نانوکامپوزیت پلی‌یورتانی

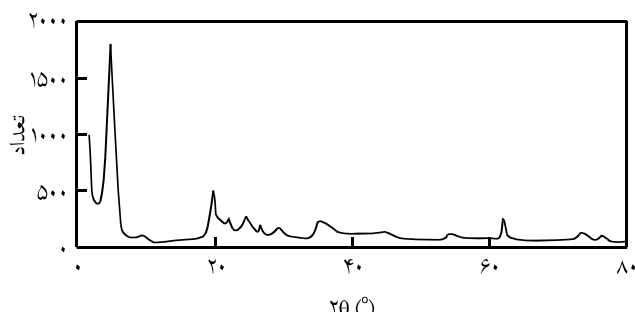
پیش از تهیه نانوکامپوزیت‌های پلی‌یورتانی، ابتدا خاک رس اصلاح شده تجاری به مدت ۳ h در دمای ۹۰°C قرار گرفت، تا کاملاً خشک شود. در روش تهیه نانوکامپوزیت به روش پلیمرشدن در جا، ابتدا مقدار ۰/۲۸ g (۰/۴٪ در صد وزنی) خاک رس اصلاح شده به پلی‌ال اضافه شد. سپس، عمل اختلاط به منظور پراکنش خاک رس اصلاح شده در پلی‌ال انجام شد. مخلوط مزبور مجدداً در گرم خانه خلاء قرار گرفت تا هرنوع رطوبت احتمالی از سامانه جدا شود. بقیه مراحل سنتز همانند سنتز الاستومر گرمانر姆 پلی‌یورتانی تکرار شد.

برای تهیه نانوکامپوزیت پلی‌یورتانی به روش بین لایه‌ای شدن، ۰/۴ در صد وزنی خاک رس اصلاح شده به الاستومر گرمانر姆 سنتز شده در دستگاه مخلوط کن داخلی Haake اضافه شد. شرایط اختلاط شامل دور ۶۰ rpm، دمای ۱۳۵°C و مدت زمان ۶ min بود. پارامتر پرکنندگی برابر ۰/۸ در نظر گرفته شد.

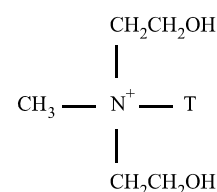
نانوکامپوزیت‌های تهیه شده به روش پلیمرشدن در جا و بین لایه‌ای شدن مذاب به ترتیب SPU و HPU نام‌گذاری شدند.

نتایج و بحث

در شکل ۲ نمودار WAXD خاک رس اصلاح شده تجاری کلویزیت 30B نشان داده شده است. قله تیز در ۲θ = ۴/۸ درجه مربوط به صفحات منظم خاک رس بلوری با فاصله لایه‌ای $d = 0.0186 \text{ nm}$ برابر



شکل ۲ - نمودار WAXD خاک رس اصلاح شده تجاری کلویزیت 30B



شکل ۱ - فرمول کلی ساختار شیمیایی خاک رس اصلاح شده تجاری کلویزیت 30B (که در آن T نشان‌گر یک زنجیر هیدروکربنی شامل ۶۵ درصد C_{18} ، ۳۰ درصد C_{16} و ۵ درصد C_{14} است).

به عنوان نانوذرات استفاده شد. Southern Clay Products

دستگاه‌ها و روش‌ها

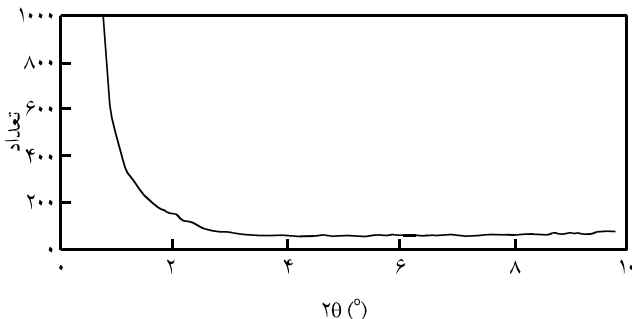
آزمایش پراش پرتو X به وسیله دستگاه Philips XPERT با تابش $\text{Cu K}\alpha$ ($\lambda = 0.154 \text{ \AA}$) انجام شد. آزمون XRD در دو حالت، مرحله ۰/۰۲ درجه و سرعت ۰/۲ درجه بر دقیقه در زاویه $2\theta > 10^\circ < 70^\circ$ و مرحله ۰/۰۲ درجه و سرعت ۰/۳ درجه بر دقیقه در زاویه $2\theta > 10^\circ < 70^\circ$ انجام شد.

برای آزمون کشش، دستگاه MTS مدل M ۱۰ به کار گرفته شد. آزمون‌ها مطابق با استاندارد ۳ DIN 53504 Type 3 استاندارد DIN 53504 مطابق با استاندارد ۳ mm/min، ۲۰ معادل ۲۰۰ درصد در دقیقه تنظیم شد. پایداری گرمایی نانوکامپوزیت‌های پلی‌یورتانی به وسیله دستگاه تجزیه PL-STA مطالعه شد. سرعت افزایش دما $10^\circ\text{C}/\text{min}$ انتخاب شد. برای اندازه‌گیری سختی از دستگاه سختی سنج لاستیک Durometer با سنجه شور A استفاده شد. نمونه‌های مورد آزمایش، مطابق استاندارد ISO R 868 (معادل DIN 53505) تهیه شدند.

سنتز الاستومر گرمانر姆 پلی‌یورتانی

الاستومر گرمانر姆 پلی‌یورتانی به روش پیش پلیمر شدن [۱۷] تهیه شد. باید توجه داشت که از مواد اولیه پلی‌ال، دی‌ایزوسیانات و زنجیرافرا با نسبت مولی ۲/۳/۱ استفاده شد. به عبارت دیگر، ۵۰ g از PTMG ۱۴/۷۵ تولوئن دی‌ایزوسیانات و ۷۵/۵۰ g از ۴,۱-بوتان دی‌ال با یک دیگر واکنش دادند. مواد اولیه پیش از واکنش باید کاملاً رطوبت‌گیری شوند. پلی‌ال به مدت ۱ h در دمای ۷۵°C در خلاء دینامیک خشک شد. هم‌چنین، شرایط رطوبت‌گیری شامل دمای ۶۰°C و زمان ۱ h برای زنجیر افزا اعمال شد.

طرف شیشه‌ای واکنش که مجهر به هم زن مکانیکی بود، داخل حمام روغن ۹۰°C قرار داشت. در طول واکنش جریان ثابتی از گاز نیتروژن خشک از راکتور عبور داده شد. زمان تشکیل پیش پلیمر ۱۰۰ min بود. سپس برای تکمیل واکنش، زنجیر افزا به سامانه واکنش اضافه شد. پس



شکل ۵- نمودار WAXD نانوکامپوزیت پلی‌یورتانی تهیه شده به روش بین لایه‌ای شدن مذاب (HPS).

Meng و همکاران [۲۰] در کاری مشابه دو نمونه صنعتی TPUE پایه پلی اتر با کلویزیت ۳۰B را در مخلوط کن داخلی مخلوط کرده و به یک ساختار نانوکامپوزیت ورقه‌ای دست یافتند. این پژوهشگران تنש برشی زیادی را که در اثر گرانزوی زیاد مذاب ایجاد می‌شود، دلیل ورقه‌ای شدن خاک رس اصلاح شده با کلویزیت ۳۰B در زمینه پلی‌یورتانی عنوان کردند.

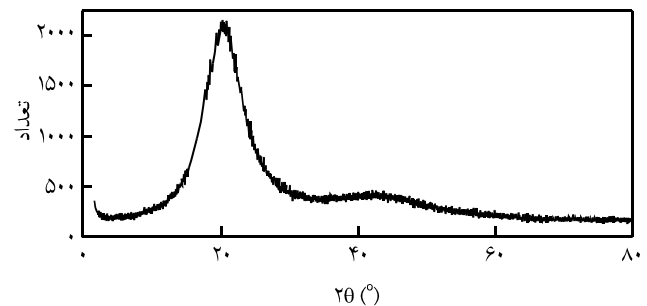
نتایج مربوط به آزمون کشش پلی‌یورتان خالص و نانوکامپوزیت‌های تهیه شده در جدول ۱ خلاصه شده است.

نانوکامپوزیت پلی‌یورتانی SPU مقادیر مدول و استحکام کششی بیشتری نسبت به نمونه پلی‌یورتانی خالص نشان می‌دهد. دلیل این رفتار می‌تواند ناشی از تقویت کنندگی خاک رس ورقه‌ای شده و اتصال قوی (از نوع فیزیکی یا شیمیایی) بین لایه‌های خاک رس و پلی‌یورتان باشد. عامل اصلاح کننده آلی خاک رس حاوی هیدروکسیل است، این گروه عامل مستعد واکنش با ایزوسیانات حین پلیمرشدن و تشکیل پیوند یورتانی است.

اما نمونه نانوکامپوزیت پلی‌یورتانی تهیه شده به روش بین لایه‌ای شدن مذاب (HPU) به طور کلی رفتار ضعیف‌تری حتی نسبت به پلی‌یورتان خالص نشان می‌دهد. در این جا برهم کنش ذرات خاک رس

جدول ۱ - نتایج آزمون کشش پلی‌یورتان خالص و نانوکامپوزیت‌های تهیه شده.

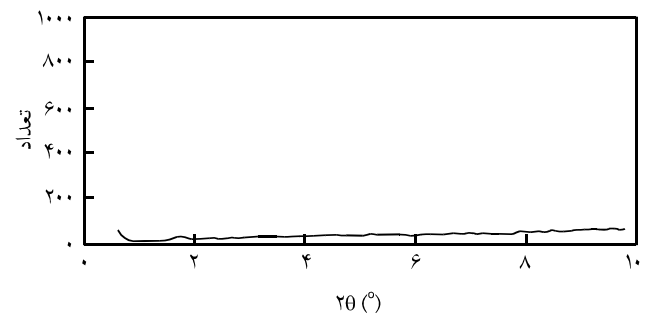
نام نمونه	استحکام کششی (MPa)	مدول کشسانی (MPa)	انرژی شکست (J/m ²)	ازدیاد طول نهایی (%)
PU	۸۷	۲/۴۲	$5/32 \times 10^4$	۱۷۴۲
SPU	۱۷۷	۳/۱۶	$4/97 \times 10^4$	۱۲۴۷
HPU	۲/۸	۱۷۵	$1/591 \times 10^4$	۱۱۱۳



شکل ۳- نمودار WAXD الاستومر گرمانزم پلی‌یورتانی (PU).

است. این داده، با برگه مشخصات فنی ارائه شده از سوی شرکت سازنده، تطابق خوبی را نشان می‌دهد. در شکل ۳ نیز نمودار WAXD پلی‌یورتان خالص نشان داده شده است. در این نمودار قله‌ای پهن در نزدیکی $2\theta = 20^\circ$ درجه مشاهده می‌شود که به برهم کنش‌های متقابل برد کوتاه بین زنجیرها در بخش سخت پلی‌یورتان مربوط می‌شود. عدم وجود قلل تیز در این نمودار نشان گر عدم وجود نواحی بلوری و نبود نظم در دامنه طولانی است. در هر دو شکل طیف مربوط در فاصله زاویه‌ای بین صفر تا 80° گرفته شده است [۱۸،۱۹].

نمودارهای WAXD مربوط به نمونه‌های نانوکامپوزیت پلی‌یورتانی در شکل‌های ۴ و ۵ مشاهده می‌شود. در نانوکامپوزیت تهیه شده به روش پلیمرشدن در جا (شکل ۴)، تنها قله‌ای کوچک در $2\theta = 20^\circ$ برابر 17° درجه با فاصله لایه‌ای از $5/2 \text{ nm}$ دیده می‌شود. این امر نشان گر آن است که تنها بخش کمی از خاک رس فاصله خود را حفظ کرده و بقیه آن پراکنده شده‌اند که این فاصله لایه‌ای از بین رفته است. در نمودار مربوط به نانوکامپوزیت تهیه شده به روش اختلاط مذاب (شکل ۵) هیچ قله قابل توجهی مربوط به ساختار بین لایه‌ای خاک رس مشاهده نمی‌شود، که این امر حاکی از پراکنش خوب و ورقه‌ای شدن خاک رس حین اختلاط مذاب است.



شکل ۴- نمودار WAXD نانوکامپوزیت پلی‌یورتانی تهیه شده به روش پلیمر شدن در جا (SPU).

[۲۱-۲۳]. در این جا نیز پایداری گرمایی SPU بیشتر از HPU است. همان‌طور که در بخش قبل نیز بیان شد، ایجاد اتصالات قوی کووالانسی در نمونه‌های SPU به کارایی خاک رس کمک می‌کند. از طرف دیگر، ایجاد شکست در زنجیرهای پلی‌یورتانی حین فرایند تهیه HPU و عدم وجود پیوندهای کووالانسی بین ذرات خاک رس و زمینه زمینه پلی‌یورتانی دلیل پایداری کمتر HPU نسبت به SPU است.

نتیجه گیری

یک مدل الاستومر گرماترم پلی‌یورتانی بر پایه پلی‌ترامیلن گلیکول، تولوئن دی‌ایزو‌سیانات و بوتان دی‌ال نرمال در نظر گرفته شد. دو نانوکامپوزیت پلی‌یورتانی بر اساس فرمول بنده مزبور و با روش‌های پلیمرشدن در جا و بین لایه‌ای شدن مذاب، حاوی ۰٪ درصد وزنی خاک رس اصلاح شده تهیه شد. بررسی‌های WAXD نشان دهنده نانوکامپوزیت‌های پلی‌یورتانی با ساختار بین لایه‌ای و ورقه‌ای بود. خواص مکانیکی و گرمایی نانوکامپوزیت‌های تهیه شده مطالعه شد. نانوکامپوزیت پلی‌یورتانی تهیه شده به روش پلیمرشدن در جا، نسبت به نمونه پلی‌یورتانی خالص خواص مکانیکی و گرمایی بهتری را نشان داد. خواص کششی نانوکامپوزیت پلی‌یورتانی تهیه شده به روش بین لایه‌ای شدن مذاب، از نمونه پلی‌یورتان خالص ضعیف‌تر بود. دلیل این رفتار می‌تواند ناشی از تخریب زنجیرهای پلی‌یورتانی در محلوط‌کن داخلی، در اثر اعمال تنش‌های برشی و گرماباشد. نتایج سختی این موضوع را تأیید می‌کند. بهبود رفتار گرمایی هر دو نانوکامپوزیت تهیه شده، به ایجاد مانع برای انتقال گرما و جرم به وسیله لایه‌های سیلیکاتی خاک رس پراکنده شده در زمینه پلی‌یورتانی مربوط می‌شود.

جدول ۲ - نتایج پایداری گرمایی نمونه‌های پلی‌یورتان خالص و نانوکامپوزیت‌های به دست آمده.

HPU	SPU	PU	نمونه
۲۷۱	۲۷۶	۲۵۸	T ₉₅ (°C)

اصلاح شده با زمینه پلیمری، برخلاف SPU صرفاً فیزیکی است. از طرف دیگر، فرایند بین لایه‌ای شدن مذاب که در شرایط دمای زیاد و اعمال تنش مکانیکی قابل توجه انجام می‌شود، باعث تخریب زنجیرهای پلی‌یورتان شده است، بنابراین خواص کششی افت می‌کند. چنین پدیده‌ای از سوی سایر پژوهشگران نیز گزارش شده است [۱۹، ۲۰]. نتایج حاصل از آزمون سختی برای نمونه‌های PU، SPU و HPU به ترتیب مقادیر ۵۰، ۵۲ و ۳۸/۵ A است. همان‌طور که از این نتایج مشخص است وجود ذرات خاک رس اصلاح شده باعث افزایش سختی در نمونه SPU نسبت به نمونه PU خالص شده است. هر چند برای نمونه HPU نیز انتظار افزایش سختی می‌رود، اما به دلیل تخریب پلی‌یورتان در فرایند اختلاط مذاب، سختی کاهش یافته است. این امر با نتایج حاصل از آزمون کشش نیز تطبیق دارد.

پایداری گرمایی نمونه‌های پلی‌یورتان خالص و نانوکامپوزیت‌های مربوط نیز به وسیله آزمون TGA مطالعه و بررسی شده است. بدین منظور T₉₅، یعنی دمایی که در آن نمونه ۹۵ درصد وزن خود را حفظ کرده است، به عنوان معیار پایداری گرمایی در نظر گرفته شده است. نتایج حاصل در جدول ۲ گزارش شده است.

همان‌طور که از اطلاعات مندرج در جدول ۲ مشخص است، نانوکامپوزیت‌های پلی‌یورتانی پایداری گرمایی قابل توجهی نسبت به پلی‌یورتان خالص نشان می‌دهند. با پراکنش و ورقه‌ای شدن لایه‌های خاک رس در زمینه پلی‌یورتان، این لایه‌ها به عنوان عایقی قوی و سد انتقال جرم در برابر محصولات فرار حاصل از تخریب عمل می‌کند.

مراجع

- Yamasaki S., Nishiguchi D., Kojio K., and Furukawa M., Effects of Aggregation Structure on Rheological Properties of Thermo-plastic Polyurethanes, *Polymer*, **48**, 4793-4803, 2007.
- Vega-Baudrit J., Sibaja-Ballesteros M., Vazquez P., Torregrosa-Macia R., and Martin-Martinez J.M., Properties of Thermoplastic Polyurethane Adhesives Containing Nanosilicas with Different Specific Surface Area and Silanol Content, *Int. J. Adhes.*, **27**, 469-479, 2007.
- Krol P., Synthesis Methods, Chemical Structures and Phase Structures of Linear Polyurethanes. Properties and Applications of Linear Polyurethanes in Polyurethane Elastomers, Copolymers and Ionomers, *Prog. Mater. Sci.*, **52**, 915-1015, 2007.
- Sinha Ray S. and Okamoto M., Polymer/Layered Silicate Nanocomposites: A Review from Preparation to Processing, *Prog. Polym. Sci.*, **28**, 1539-1641, 2003.
- Lu H. and Nutt S., Restricted Relaxation in Polymer Nanocom-

- posites Near the Glass Transition, *Macromolecules*, **36**, 4010-4016, 2003.
6. Kuppa V. and Manias E., Dynamics of Poly(ethylene oxide) in Nanoscale Confinements: A Computer Simulations Perspective, *J. Chem. Phys.*, **118**, 3421-3429, 2003.
 7. Liu X. and Wu Q., Non-isothermal Crystallization Behavior of Polyamide 6/Clay Nanocomposites, *Eur. Polym. J.*, **38**, 1383-1389, 2002.
 8. Gunes S., Cao F., and Jana S.C., Evaluation of Nanoparticulate Fillers for Development of Shape Memory Polyurethane Nanocomposites, *Polymer*, **49**, 2223-2234, 2008.
 9. Chen J., Zhou Y., Nan Q., Sun Y., Ye X., and Wang Z., Synthesis, Characterization and Infrared Emissivity Study of Polyurethane/TiO₂ Nanocomposites, *Appl. Surf. Sci.*, **253**, 9154-9158, 2007.
 10. Xiong J., Zheng Z., Jiang H., Ye S., and Wang X., Reinforcement of Polyurethane Composites with an Organically Modified Montmorillonite, *Compos., Part A: Appl. Sci. Manufact.*, **38**, 132-137, 2007.
 11. Pattanayak A. and Jana S.C., Synthesis of Thermoplastic Polyurethane Nanocomposites of Reactive Nanoclay by Bulk Polymerization Methods, *Polymer*, **46**, 3275-3288, 2005.
 12. Chen-Yang Y.W., Lee Y.K., Chen Y.T., and Wu J.C., High Improvement in the Properties of Exfoliated PU/Clay Nanocomposites by the Alternative Swelling Process, *Polymer*, **48**, 2969-2979, 2007.
 13. Song M., Xia H.S., Yao K.J., and Hourston D.J., A Study on Phase Morphology and Surface Properties of Polyurethane/Organoclay Nanocomposite, *Eur. Polym. J.*, **41**, 259-266, 2005.
 14. Chih-Wei C., Shan-Hui H., Chang H., Sheng-Mao T., and Hong-Ru L., Enhanced Thermal and Mechanical Properties and Biostability of Polyurethane Containing Silver Nanoparticles, *Polym. Degrad. Stab.*, **91**, 1017-1024, 2006.
 15. Kim D.S., Kim J.T., and Woo W.B., Reaction Kinetics and Characteristics of Polyurethane/Clay Nanocomposites, *J. Appl. Polym. Sci.*, **96**, 1641-1647, 2005.
 16. Pattanayak A. and Jana S.C., High-Strength and Low-Stiffness Composites of Nanoclay-Filled Thermoplastic Polyurethanes, *Polym. Eng. Sci.*, **45**, 1532 - 1539, 2005.
 17. Barikani M. and Barmar M., Thermoplastic Polyurethane Elastomers: Synthesis, and Study of Effective Structural Parameters, *Iran. Polym. J.*, **5**, 231-235, 1996.
 18. Utracki L.A., *Clay-containing Polymeric Nanocomposites*, Rapra Technology, UK, Chap. 1, 2004.
 19. Finnigan B., Martin D., Halley P., Truss R., and Campbell K., Morphology and Properties of Thermoplastic Polyurethane Nanocomposites Incorporating Hydrophilic Layered Silicates, *Polymer*, **45**, 2249-2260, 2004.
 20. Meng X., Dua X., Wang Z., Bi W., and Tang T., The Investigation of Exfoliation Process of Organic Modified Montmorillonite in Thermoplastic Polyurethane with Different Molecular Weights, *Compos. Sci. Technol.*, **68**, 1815-1821, 2008.
 21. Wang F., *Polydimethylsiloxane Modification of Segmented Thermoplastic Polyurethanes and Polyureas*, PhD Thesis, Virginia Polytechnic Institute and State University, Blacksburg, Virginia, 1998.
 22. Solurski S., Benali S., Rochery M., Devaux E., Alexandre M., Monteverde F., and Dubois P., Synthesis of a Polyurethane/Clay Nanocomposite Used as Coating: Interactions between the Counterions of Clay and the Isocyanate and Incidence on the Nanocomposite Structure, *J. Appl. Polym. Sci.*, **95**, 238-244, 2005.
 23. Kim P.S., Kim J.T., and Woo W.B., Reaction Kinetics and Characteristics of Polyurethane/Clay Nanocomposites, *J. Appl. Polym. Sci.*, **96**, 1641-1647, 2005.